

## 走行荷重を受ける梁の動的弾性安定性に及ぼす減衰の影響について

山口大学 正員 會田 忠義  
 " 学生員 中山 高明  
 建設省 正員 川上 卓也

まえがき 走行列車の上下動、ピッキングに伴う鉛直荷重および蛇行動・ヨーイングに伴う横荷重を従動荷重と想定し、これらの荷重が梁上を連続走行する場合の非減衰梁の動的安定性を、この研究で明らかにしてきた。<sup>1), 2), 3)</sup> 本研究は、これらの荷重系の動的安定性に及ぼす減衰の影響を明らかにするものである。ここで、減衰力は位速度に比例するものと假定した。

運動方程式 部材断面のせん断中心の水平変位、鉛直変位および回転の各速度に対する減衰係数をそれぞれ $\eta_u$ ,  $\eta_v$  および $\eta_\theta$  とし、水平横荷重 $\bar{F}_x$  と鉛直荷重 $\bar{F}_y$  が駆動力として作用するととき運動方程式は

$$\left. \begin{aligned} m(\ddot{U}_s + \bar{F}_y \dot{\theta}) + \eta_u \dot{U}_s + EI_{xx} \ddot{U}_s - \bar{F}_x + \bar{F}_y \theta - \bar{F}_x = 0 \\ m(\ddot{V}_s - \bar{F}_x \dot{\theta}) + \eta_v \dot{V}_s + EI_{yy} \ddot{V}_s - \bar{F}_y - \bar{F}_x \theta - \bar{F}_y = 0 \\ M I_{ps} \ddot{\theta} + M(\bar{F}_y U_s - \bar{F}_x V_s) + \eta_\theta \dot{\theta} + EI_w \theta''' - G K \theta'' \\ + \bar{F}_x (e_y - U_s) - \bar{F}_y (e_x - V_s) - \bar{F}_y \theta (e_y - U_s) - \bar{F}_x \theta (e_x - V_s) \\ + \bar{M}_z + \bar{F}_x (e_y - U_s) + \bar{F}_y (e_x - V_s) = 0 \end{aligned} \right\} \quad (1)$$

となる。<sup>1), 2), 3), 4)</sup>

振動変位 $U_s$ ,  $V_s$  および $\theta$ を次式で表わし

$$U_s = \sum_{k=1}^n P_k(t) U_{sk}(z), \quad V_s = \sum_{k=1}^n Q_k(t) V_{sk}(z), \quad \theta = \sum_{k=1}^n T_k(t) \theta_{sk}(z)$$

整理すると、鉛直駆動荷重 $\bar{F}_y$  ならびに水平駆動荷重 $\bar{F}_x$  作用時の運動方程式は、それそれ、同じ形となり次式で表わされる。

$$(A + A_M) \ddot{f} + D \dot{f} + (B + PC) f = 0 \quad \dots \dots \quad (2)$$

擾乱方程式と境界振動数方程式 Fig. 2 に示すよう荷集中荷重列

がうたる $\bar{F}_y$  を、Fig. 3 に示すよう荷集中荷重列

がうたる $\bar{F}_x$  を想定するととき、擾乱方程式は次式で表わされる。

$$[A + f A_0 + \sum_{p=1}^n (A_{1p} \cos p \omega_0 t + A_{2p} \sin p \omega_0 t)] \ddot{f} + D \dot{f} + [B$$

$$+ P f C_0 + \sum_{p=1}^n (C_{1p} \cos p \omega_0 t + C_{2p} \sin p \omega_0 t)] \ddot{f} = 0 \quad \dots \dots \quad (3)$$

ここで、Fig. 2 の $\bar{F}_y$  作用時 $\omega_0 = \pi V/a$ 、Fig. 3 の $\bar{F}_x$  作用時

は $\omega_0 = 2\pi V/a$  であり、D は対角要素に $\eta_u/m$ ,  $\eta_v/m$ ,  $\eta_\theta/I_{ps}$  をもつ減衰行列である。

式(3) の Hill 型方程式であることをかう、Bolotin 法を適用して、単純パラメトリック共振領域の境界振動数方程式を求めると、次式となる。

$$\left| -\frac{W_0^2}{4} ([A]_1 + \frac{1}{2} [A_M]_1) + \frac{W_0}{2} [D]_1 + [B]_1 + \frac{P}{2} [C]_1 \right| = 0 \quad \dots \dots \quad (4)$$

$$\left| -\frac{W_0^2}{4} ([A]_2 + \frac{1}{2} [A_M]_2) + \frac{W_0}{2} [D]_2 + [B]_2 + \frac{P}{2} [C]_2 \right| = 0 \quad \dots \dots \quad (5)$$

ここで、 $[D]_1$ ,  $[D]_2$  は式(6) および(7) の行列である。

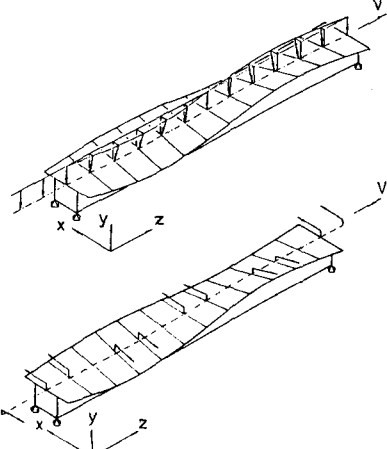


Fig. 1 Beam under traveling follower load system

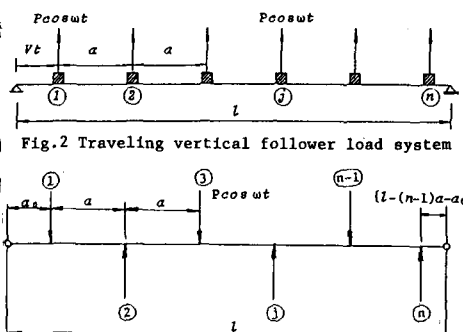


Fig. 2 Traveling vertical follower load system



Fig. 3 Traveling horizontal transverse follower load system

その他  $[A]_1, [A_M]_1, [B]_1, [C]_1$ ,  $[A]_2, [A_M]_2, [B]_2$  もしくは  
 $[C]_2$  は非減衰の場合と同  
じである。

### 単純パラメトリック共振領域

解析に当たって、減衰係数は次式を用いて減衰度数を算出した。

$$\gamma_u = 2m\omega_u h_u, \quad \gamma_v = 2m\omega_v h_v, \quad \gamma_\theta = 2M I_{ps} \omega_\theta h_\theta \quad \dots \quad (8)$$

ここで、 $h_u, h_v, h_\theta$   
 は、水平、鉛直および  
 ねじり振動の卓越する  
 モードに対する減衰度  
 数であるが、計算に当  
 て、各振動モードに  
 対して一定である場合  
 を想定し、 $h = 0.01, 0.05$   
 および  $0.1$  の場  
 合の影響を示す。 $\omega_u, \omega_v$   
 および  $\omega_\theta$  は水平  
 鉛直およびねじり振  
 動の卓越する固有振

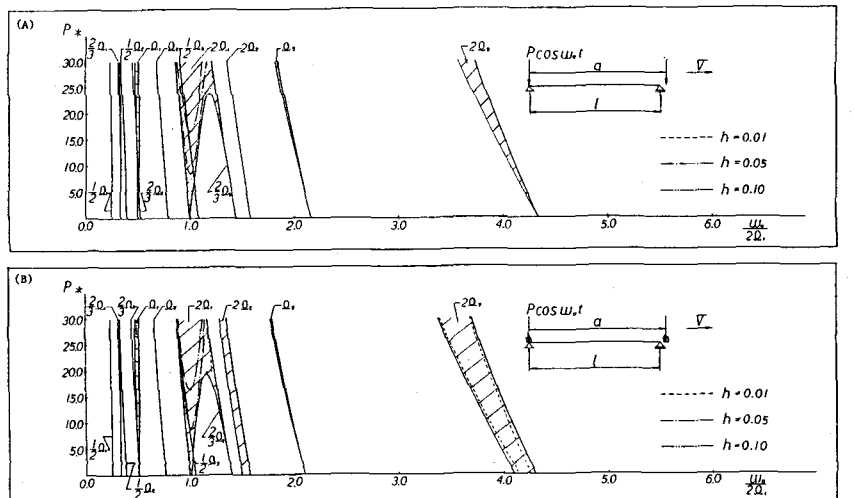


Fig. 4 Regions of simple parametric instability for a simply supported beam under traveling vertical periodic follower load system when  $\omega = \omega_0$  and  $a/l = 1.05$ .  
 (A)  $M_0 = J_0 = 0.0$ ; (B)  $M_0/l_m = 0.103453$  and  $J_0/\mu I_p s l = 4.39453 \times 10^{-3}$ .

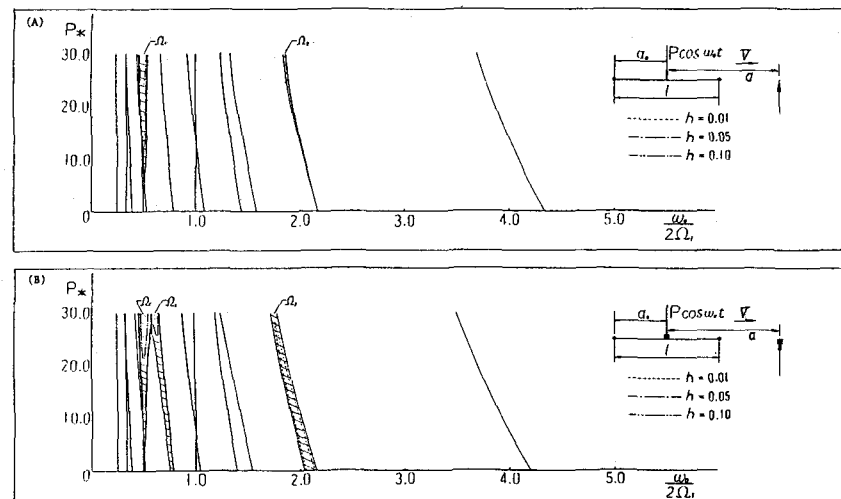


Fig. 5 Regions of simple parametric instability for a simply supported beam under traveling horizontal transverse periodic follower load system when  $\omega = \omega_0, a/l = 0.50$  and  $a/l = 1.05$ .  
 (A)  $M_0 = J_0 = 0.0$ ; (B)  $M_0/l_m = 0.103453$  and  $J_0/\mu I_p s l = 4.39453 \times 10^{-3}$ .

1) 會田・小松：従動性走行荷重を受けた「はり」の動的応答について、土木学会第35回年次講演概要、2) 会田：連行従動荷重を受けた梁の動的弾性安定性について、第30回国際力連合講演論文集、3) 会田・小松：車両横荷重を受けた橋梁の動的挙動に関する研究、土木学会第36回年次講演概要、4) 会田・福田・小松：走行従動荷重を受けた梁の動的安定性に及ぼす荷重質量の影響について、土木学会中国四国支部昭和57年度年次講演概要。